

## اثر چرخه‌های عملیات حرارتی بر ریزساختار و خواص مکانیکی یک فولاد کم آلیاژ تولیدی به روش تفجوشی لیزری

محمود احظی (دانشجوی دکتری)

دانشکده‌ی مهندسی برشک، دانشگاه صنعتی آمیکبیر

عبدالواحد سیم جی (دانشیلر)

دانشکده‌ی مهندسی و علم مواد، دانشگاه صنعتی شریف

در این پژوهش اثر چرخه‌های عملیات حرارتی بر روش تفجوشی لیزری مطالعه شده است، و چرخه‌های یکنواخت کردن، بازیخت آستینتی، سخت کاری - بازگشت و عملیات تکمیلی مورد تحقیق قرار گرفته‌اند. همچنین آزمایش‌های سختی سنجی، استحکام پارگی عرضی و تجزیه و تحلیل ریزساختاری توسط میکروسکوپ نوری انجام شد. نتایج حاصل نشان داد که برای همگنسازی ریزساختار می‌باشد دمای آستینتی بیش از  $C = 90^{\circ}\text{C}$  -  $85^{\circ}\text{C}$  و زمان  $30$  دقیقه برای حصول سختی و استحکام مناسب کافی است. با عملیات حرارتی بازیخت آستینتی (آستمپرنگ) در دمای پایین و سخت کاری - بازگشت در شرایط مناسب می‌توان استحکام فولاد تفجوشی شده را حدود  $5\%$  افزایش داد به طوری که کاهش سختی نسبتاً کم و حداکثر  $20\%$  باشد. نتایج به دست آمده از عملیات حرارتی ترکیبی حاکی از افزایش بیش از  $10\%$  درصدی استحکام پارگی عرضی و عدم تعییر میزان سختی نمونه‌ها نسبت به نمونه‌های عملیات حرارتی نشده بود. عملیات ترکیبی شامل یک مرحله نرم‌الله با دمای آستینتی در محدوده اتحلال کاربیدها و سپس چرخه‌های بازیخت آستینتی و سخت کاری - بازگشت بوده است.

### مواد مختلفی مانند پلاستیک‌های مهندسی، الاستومرهای ترمومولاستیک

(گرمافرم)، فرازات و سرامیک‌ها می‌توانند مورد استفاده قرار گیرند.<sup>[۷]</sup> ساخت مدل‌های ریخته‌گری دقیق، مغزی قالب‌های فلزی، قالب‌ها و ماهیچه‌های ریخته‌گری با ماسه از مهم‌ترین زمینه‌های کاربرد فرایند تفجوشی لیزری است.<sup>[۸]</sup> قابلیت این روش در تفجوشی پودر قفلات و سرامیک‌ها، آن را قادر به ساخت ابزاری همچون توپی و محفظه‌های قالب‌های تزریق پلاستیک با قالب‌های ریخته‌گری تحت فشار آلومینیم ساخته است. بنابراین ارتقاء خواص مکانیکی حاصل از این محصولات بسیار حائز اهمیت است. در مورد قطعات فلزی، صرف نظر از جنس ماده و پارامترهای مورد استفاده در تفجوشی لیزری، عملیات حرارتی تأثیر بهزیستی بر خواص مکانیکی دارد. این عملیات ممکن است با حذف حرفره‌های باقی‌مانده از تفجوشی لیزری و نیز همگنسازی ریزساختاری همراه باشد.<sup>[۹]</sup>

در این پژوهش ریزساختار و خواص مکانیکی یک فولاد کم آلیاژ تولیدی به روش تفجوشی لیزری مورد مطالعه قرار گرفته است. با اعمال چرخه‌های مختلف عملیات حرارتی و انجام آزمایش‌های نظری سختی سنجی، اندازه‌گیری استحکام پارگی عرضی و مطالعات ریزساختاری اثر این عملیات بررسی و شرایط بهینه تعیین شد. از آنجا

### مقدمه

نمونه‌سازی سریع<sup>۱</sup> (RP) یک فناوری نسبتاً جدید برای ساخت نمونه‌های فیزیکی و نمونه‌ی اولیه با استفاده از اطلاعات مدل سه‌بعدی طراحی شده به‌کمک رایانه، سی‌تی اسکن، و ام‌آر‌ای است.<sup>[۱]</sup> ایده‌ی اصلی RP قراردادن لایه‌های دقیق بر روی یکدیگر تاریخیدن به شکل نهایی قطعه است. برخلاف فرایند تولید به روش کاهنده، مانند ماشین‌های CNC، در فرایند RP برای ساخت قطعات پیچیده مواد به صورت مایع، پودر یا ورق به هم متصل می‌شوند.<sup>[۲]</sup> ابزارسازی سریع یکی از مهم‌ترین زمینه‌های کاربردی RP است.<sup>[۳]</sup> در فرایندهای ساخت، قالب‌سازی یکی از کنترل‌ریز و گران‌ترین مراحل تولید است که علت آن کیفیت بسیار بالایی مورد نیاز هندسه‌ی پیچیده قالب‌ها، دقت ابعادی در حد صدم میلی‌متر و سختی و مقاومت در برای رسایش بالا است. چون روش‌های متداول قالب‌سازی نظری CNC و روش تخلیه‌ی الکتریکی نسبتاً گران و زمان بر هستند، سازندگان تمایل زیادی به استفاده از روش‌های RP برای تسريع این مرحله از ساخت دارند. یکی از روش‌های مهم نمونه‌سازی سریع روش تفجوشی مستقیم با لیزر است.<sup>[۴]</sup> در این فرایند، انرژی لیزر برای ایجاد پیوند بین ذرات پودر مواد و ساخت قطعات جامد با شکل پیچیده مورد استفاده قرار می‌گیرد.

توان  $215W$  و ضخامت لایه‌ی  $5mm$  انجام شد. ترکیب فولاد مورد استفاده شامل (درصد وزنی)  $4$  درصد نیکل،  $1$  درصد مولیبدن،  $2$  درصد مس و  $8$  درصد کربن بوده است. شایان ذکر است که این ترکیب از طریق مخلوط کردن پودرهای عنصری در یک مخلوط کن Turbula به مدت  $30$  دقیقه حاصل شد.

پس از آماده‌سازی نمونه‌ها، چرخه‌های عملیات حرارتی بر روی آن‌ها صورت گرفت. این عملیات عبارت‌اند از: نرماله، بازپخت آستینیتی، سختکاری - بازگشت و عملیات ترکیبی یکنواختکردن / بازپخت آستینیتی و یکنواخت کردن / سختکاری. شرایط انجام این عملیات در جدول  $1$  ارائه شده است. پس از اعمال چرخه‌های عملیات حرارتی، آزمایش‌های مربوط به اندازه‌گیری خواص مکانیکی انجام شد. این آزمون‌ها اندازه‌گیری استحکام پارگی عرضی و سختی را شامل می‌شوند. برای این منظور، در ابتدا نمونه‌ها سنگ زده شدند تا کاملاً صیقلی و آماده شوند. استحکام پارگی عرضی از طریق آزمایش خمس سه نقطه‌بی (استاندارد MPIF ۴۱-۹۱) مطابق با ASTME ۳۸۰-۹۱ تعیین شد و فاصله‌ی محورهای تکیه‌گاه برابر  $25$  میلی‌متر بود. سختی نمونه‌ها نیز توسط روش ویکرز با اعمال نیروی  $30$  کیلوگرم اندازه‌گیری شد. ریزاساختار نمونه‌ها نیز توسط میکروسکوپ نوری مورد مطالعه قرار گرفت. در این مورد از محلول نایتال  $2$  درصد برای حکاکی استفاده شد. برای مطالعه‌ی ریزاساختار از میکروسکوپ نوری استفاده شد.

## نتایج و بحث

### الف) ریزاساختار و خواص مکانیکی قطعات تفجوشی شده توسط لیزر

قبل از انجام هرگونه عملیات حرارتی، ریزاساختار و خواص مکانیکی نمونه‌های تفجوشی شده مطالعه شد. شکل  $1$  ریزاساختار متالوگرافی این نمونه را در دو بزرگنمایی نشان می‌دهد. همان‌طور که در شکل

که تأثیر عملیات حرارتی بر روی این نمونه‌ها با توجه به ترکیب جدید آن پیش از این تحقیق نشده است، پژوهش انجام شده کاری نو در این راستا بوده است.

## روش تحقیق

نمونه‌های مورد استفاده در این پژوهش طی فرایند تفجوشی لیزری پودر فلزات ساخته شدند. دستگاه مورد استفاده شامل دو عدد لیزر  $CO_2$  با قدر پیوسته و توان اسمی  $250$  وات، عدسی‌های متغیرکننده، سیستم بارگیری پودر و رایانه‌ی کنترل کننده است. در این روش به منظور ساخت یک قطعه، ابتدا فایل ۳D-CAD آن تهیه می‌شود. سپس اطلاعات توسط نرم‌افزار دستگاه به فایل لیتوگرافی سه بعدی (STL) تبدیل و در نهایت سطوح قطعه به لایه‌های نازکی در می‌آیند. فرایند ساخت با پخش یک لایه‌ی نازک از پودر ماده بر سطح سکوی دستگاه توسط یک جاروبک شروع می‌شود. سپس نور لیزر مطابق فایل STL بر پستر پودر تابیده می‌شود تا عملیات تفجوشی و اتصال ذرات صورت گیرد. پس از تکمیل یک لایه، سکوی دستگاه یک گام (معادل ضخامت یک لایه از فایل STL) به پایین رفت و محفظه‌ی بارگیری پودر یک گام به بالا حرکت می‌کند. عملیات پخش و لایه‌گذاری ماده توسط جاروبک تکرار شده و تابش نور لیزر علاوه بر تفجوشی ذرات پودر در لایه‌ی جدیده، موجب اتصال لایه‌ها نیز می‌شود. با تکرار این عملیات محصول به صورت لایه به لایه ساخته می‌شود.<sup>[۱]</sup>

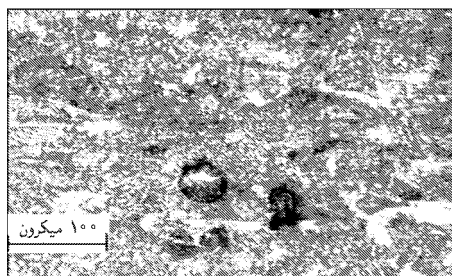
به منظور ساخت نمونه‌های مورد استفاده در این پژوهش، ابتدا توسط نرم‌افزار Pro/Engineer مدل یک قطعه مکعب مستطیل به ابعاد  $8mm \times 13 \times 40$  طراحی و نقشه‌کشی شد. سپس توسط رایانه‌ی کنترل کننده دستگاه، اطلاعات سطوح به صورت لایه‌های نازک به ضخامت  $50\mu m$  درآمد. مخلوط پودر آهن با ابعاد کمتر از  $50\mu m$  همراه با پودر کربن، مس، نیکل و مولیبدن در محفظه‌ی نگهدارنده مواد بارگیری و عملیات تفجوشی لیزری در سرعت  $100mm/s$ ،

جدول ۱. شرایط عملیات حرارتی مختلف مورد استفاده در پژوهش. زمان مورد استفاده برای آستینیته کردن  $30$  دقیقه، و برای بازپخت  $60$  دقیقه بوده است.

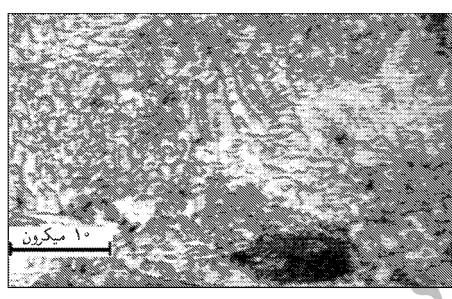
عملیات	شرح
نرماله	آستینیته کردن در دماهای $780$ ، $850$ و $900$ درجه سانتیگراد و سپس سود کردن در هوا
بازپخت آستینیتی	بالایی: آستینیته کردن در دماهای $850$ و $900$ درجه سانتیگراد، انتقال سریع به حمام نمک با دمای $C^{400}$ و سپس سود کردن در هوا پایینی: آستینیته کردن در دماهای $850$ و $900$ درجه سانتیگراد، انتقال سریع به حمام نمک با دمای $C^{300}$ و سپس سود کردن در هوا
سردکردن گرم کردن	آستینیته کردن در دماهای $850$ و $900$ درجه سانتیگراد، سود کردن سریع در روغن و سپس بازپخت در دمای $C^{450}$
عملیات ترکیبی	عملیات نرماله با آستینیته در دمای $C^{400}$ و سپس بازپخت آستینیتی بالایی با دمای آستینیته $C^{900}$ و سرمایش سریع در حمام نمک $C^{400}$ عملیات نرماله با آستینیته در دمای $C^{1050}$ و سپس بازپخت آستینیتی پایینی با دمای آستینیته $C^{900}$ و سرمایش سریع در حمام نمک $C^{300}$ عملیات یکنواخت کردن با آستینیته در دمای $C^{1050}$ و سپس سخت کاری - بازگشت با دمای آستینیته $C^{900}$ و کوره بازپخت $C^{350}$

جدول ۲. نتایج حاصل از انجام عملیات همگن کردن بر نمونه‌های تف‌جوشی شده توسط لیزر.

استحکام پارگی عرضی (MPa)	دهای آستینیته (HV <sub>300</sub> )	سختی (°C)
۸۳۵	۲۵۴	بدون عملیات حرارتی
۱۰۱۰	۲۵۲	۷۸۰
۱۰۲۰	۲۷۵	۸۵۰
۱۱۳۲	۲۸۴	۹۰۰
۱۰۵۱	۲۷۵	۹۲۵



(الف)



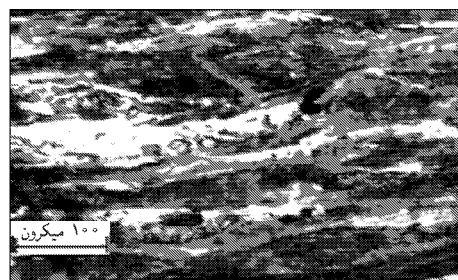
(ب)

شکل ۲. ریزساختار مربوط به نمونه‌ی یکنواخت شده با دمای آستینیت  $900^{\circ}\text{C}$  در دو بزرگنمایی مختلف.

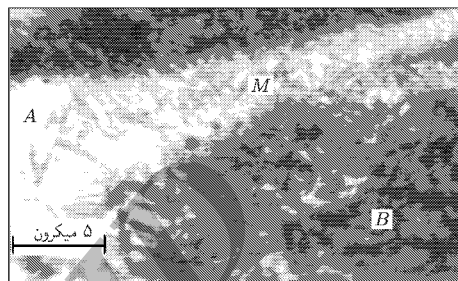
نمونه‌ها نسبت به نمونه‌ی تف‌جوشی شده به علت تغییر شکل کاربیدها، حذف فازهای سخت مانند مارتزیت، و آزاد شدن تنش‌های داخلی است. شایان ذکر است که در فرآیند ساخت، به دلیل سرعت زیاد شدن بالای قطعه، ایجاد تنش‌های پسماند قطعی است. چنانچه در جدول ۲ مشاهده می‌شود دمای بهینه‌ی آستینیت کردن این فولاد از نقطه نظر بیشترین استحکام همراه با سختی مناسب در  $900^{\circ}\text{C}$  است.

### ج) اثر عملیات بازیخت آستینیتی

این عملیات به دو صورت بازیخت آستینیتی بالایی و پایینی انجام شد. در عملیات بازیخت آستینیتی بالایی، دمای حمام نمک  $400^{\circ}\text{C}$  و در عملیات بازیخت آستینیتی پایینی  $350^{\circ}\text{C}$  بود. شرایط آستینیت کردن در جدول ۱ خلاصه شده است. اثر اعمال این عملیات برخواص مکانیکی نمونه‌های تف‌جوشی شده را می‌توان در جدول ۳ دید.



(الف)



(ب)

شکل ۱. ریزساختار مربوط به نمونه‌های تف‌جوشی شده لیزری در دو بزرگنمایی مختلف. M: مارتزیت، A: آستینیت و B: پیزیت.

مشاهده می‌شود لایه‌های ناشی از روش ساخت به‌وضوح دیده می‌شوند. ریزساختار شامل مناطق مارتزیت، مارتزیت گرم شده، پیزیت و آستینیت باقی مانده است که نشان از غیریکنواختی شدید ریزساختار دارد. دلیل این غیرهمگنی، استفاده از مخلوط پودرهای عنصری برای تهییه نمونه اولیه است. در فرآیند تف‌جوشی لیزری به دلیل سرعت زیاد چرخی حرارتی، زمان لازم برای تفویض عنصر و همگنی ریزساختار وجود ندارد و بنابراین فازهای مختلف بوجود آمده‌اند. مطالعات قبلی صورت گرفته بر روی ریزساختار این مواد نشان داد که تغییرات نامنظم ریزسختی نسبت به عمق در مورد این فولاد وجود دارد.<sup>[۱۶]</sup> این موضوع می‌بین آن است که فازهای مختلف و ناهمگنی میکروسکوپی در این مواد حضور دارند. اما مقادیر متوجه درشت‌سختی و استحکام پارگی عرضی این نمونه‌ها به ترتیب برابر ۴۵۴ و ۸۳۵ مگاپاسکال اندازه‌گیری شد.

### ب) اثر عملیات حرارتی همگن کردن

نتایج حاصل از عملیات حرارتی همگن کردن در شرایط مختلف بر سختی و استحکام فولاد مورد تحقیق در جدول ۲ آرائه شده است. از این اطلاعات چنین استنباط می‌شود که با انجام عملیات همگن کردن، سختی کاهش و استحکام نسبت به نمونه‌های اولیه افزایش یافته است (شکل ۲). ریزساختار قطعه پس از عملیات حرارتی نرماله در دمای  $900^{\circ}\text{C}$  را نشان می‌دهد. در بزرگنمایی کمتر (شکل ۲ الف) ساختار لایه لایه هنوز مشهود است، و در بزرگنمایی بیشتر ساختاری شامل کاربیدهای تقریباً کروی دیده می‌شود. لذا کاهش سختی این

استحکام پارگی عرضی بین این دو با توجه به شکل کاربیدها قابل توجیه است.

#### (د) اثر عملیات سخت‌کاری-بازگشت

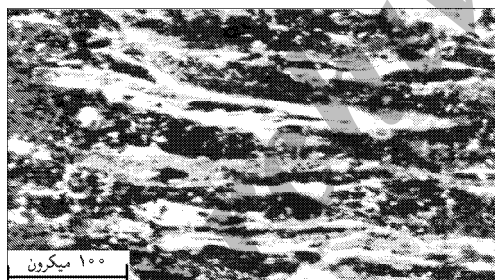
نتایج به دست آمده از این آزمایش در جدول ۴ و تصاویر ریزساختار برای یک نمونه در شکل ۴ آمده است. از این نتایج چنین دریافت می‌شود که استحکام قطعه اندکی کمتر از نتایج مربوط به بازپخت آستینیتی است ولی از نظر سختی افزایش نشان می‌دهد. به علاوه، سختی نمونه از مقدار مشابه خود در مورد نمونه تفجوشی شده بیشتر است. لذا می‌توان ادعا کرد که در این عملیات خواص مکانیکی جسم بهبود یافته است. در مورد ریزساختار، در بزرگنمایی پایین ساختار لایه‌بیانی ناشی از روش ساخت و در بزرگنمایی بالا کاربیدهای شکل گرفته در یک سو قابل مشاهده است (شکل ۴).

#### و) همگن‌سازی ریزساختار

با توجه به این که ساختار نمونه‌ها بعد از آستینیت کردن در  $400^{\circ}\text{C}$  همگن نشده بود و خطوط لایه‌بیانی ناشی از روش ساخت (شکل ۱) ممکن شده بود و خطوط لایه‌بیانی ناشی از روش ساخت (شکل ۱)

جدول ۴. نتایج حاصل از عملیات سخت‌کاری-بازگشت بر نمونه‌های تفجوشی شده توسط لیزر.

استحکام پارگی عرضی (MPa)	دماهی آستینیتی و بازگشت (HV <sub>20</sub> )	سختی (°C)
۱۳۸۷	۴۳۲	۳۵۰و۸۵۰
۱۱۳۸	۴۹۰	۳۵۰و۹۰۰



(الف)

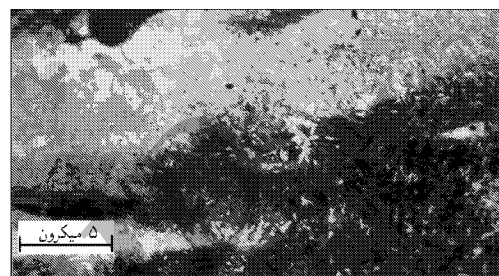
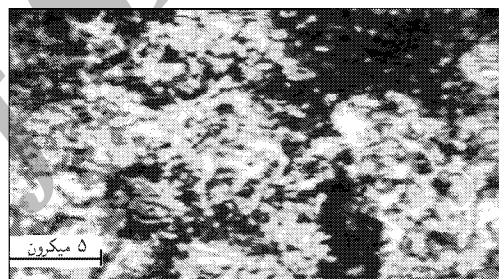


(ب)

شکل ۴. ریزساختار مربوط به نمونه‌ی سخت‌کاری-بازگشت داده شده در دماهی آستینیتی  $400^{\circ}\text{C}$  و بازگشت  $350^{\circ}\text{C}$  در دو بزرگنمایی مختلف.

جدول ۳. نتایج حاصل از انجام عملیات بازپخت آستینیتی بالائی و پایینی بر نمونه‌های تفجوشی شده توسط لیزر.

دماهی آستینیتی و حمام نمک (°C)	سختی (HV <sub>20</sub> )	استحکام پارگی عرضی (MPa)
۳۰۰و۸۵۰	۳۶۶	۱۴۶۳
۳۰۰و۹۰۰	۳۸۵	۱۴۳۶
۴۰۰و۸۵۰	۳۱۸	۱۴۴۱
۴۰۰و۹۰۰	۳۴۵	۱۳۶۸

الف) حمام نمک  $300^{\circ}\text{C}$ ب) حمام نمک  $400^{\circ}\text{C}$ .

شکل ۳. ریزساختار نمونه‌های بازپخت شده با دماهی آستینیتی  $400^{\circ}\text{C}$ .

به طور کلی نتایج حاصل از عملیات بازپخت آستینیتی از نظر سختی و استحکام پارگی عرضی نسبت به عملیات فرماله بهتر بوده است. نتایج به دست آمده از بازپخت آستینیتی پایینی (حمام نمک  $300^{\circ}\text{C}$ ) از نظر سختی و استحکام نسبت به بازپخت آستینیتی بالائی (حمام نمک  $400^{\circ}\text{C}$ ) بهتر است. در شکل ۳ ریزساختار نمونه‌ها پس از عملیات حرارتی بازپخت آستینیتی نشان داده شده است. در این تصاویر مشاهده می‌شود که ریزساختار لایه‌بیانی تقریباً حذف شده است، اگرچه مناطق روشن هنوز در ساختار دیده می‌شود. ریزساختار این قطعات به صورت بینیتی است که بر حسب دما به صورت بینیت پایین برای بازپخت آستینیتی در  $300^{\circ}\text{C}$  و بینیت بالا برای بازپخت آستینیتی در  $400^{\circ}\text{C}$  است. به عبارت دیگر، نوع کاربیدهای شکل گرفته در آنها با یکدیگر متفاوت‌اند به طوری که در نمونه‌ی بازپخت شده در  $300^{\circ}\text{C}$  به صورت کاربیدهای نوکتیز و ظرفی و در مورد بازپخت آستینیتی در  $400^{\circ}\text{C}$  به صورت کاربیدهای کروی یا منحنی شکل است. لذا اختلاف اندک در میزان سختی و

جدول ۵. نتایج حاصل از انجام عملیات ترکیبی بر نمونه‌های تفجوشی شده توسط لیزر.

استحکام پارگی (MPa)	سختی ویکرز (HV <sub>20</sub> )	شرح عملیات
۱۶۱۳	۴۷۰	یکنواخت کردن با آستینیت در دمای $۱۰۵^{\circ}\text{C}$ و سپس بازپخت آستینیت با دمای آستینیت $۹۰۰^{\circ}\text{C}$ و سرمایش سریع در حمام نمک $۳۰۰^{\circ}\text{C}$
۱۷۳۴	۳۷۵	یکنواخت کردن با آستینیت در دمای $۱۰۵^{\circ}\text{C}$ و سپس بازپخت آستینیت با دمای آستینیت $۹۰۰^{\circ}\text{C}$ و سرمایش سریع در حمام نمک $۴۰۰^{\circ}\text{C}$
۱۷۶۳	۴۷۰	یکنواخت کردن با آستینیت در دمای $۱۰۵^{\circ}\text{C}$ و سپس سختکاری - بازگشت با دمای آستینیت $۹۰۰^{\circ}\text{C}$ و سرمایش سریع در روزگار و کوره بازپخت $۳۵۰^{\circ}\text{C}$

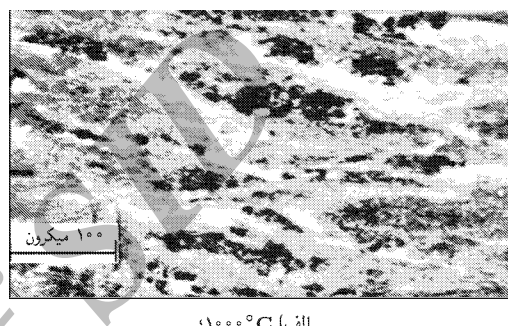
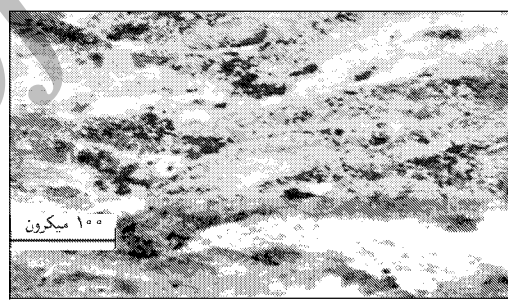
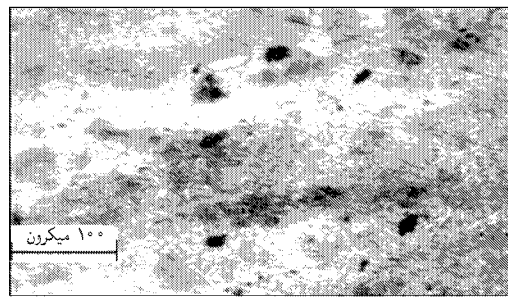
سانتیگراد تکرل شد. شکل ۵ ریزساختار این نمونه‌ها را نشان می‌دهد. از این شکل‌ها چنین دریافت می‌شود که با افزایش دمای آستینیت به تدریج ساختار همگن می‌شود به طوری که در دمای  $۱۰۵^{\circ}\text{C}$  به ساختاری تقریباً همگن دست می‌یابیم.

#### ۵) عملیات حرارتی ترکیبی

این عملیات شامل اعمال دو چرخه‌ی عملیات حرارتی بر نمونه‌های مورد تحقیق بود. ابتدا عملیات یکنواخت کردن انجام شد و سپس عملیات بازپخت آستینیت بالایی، بازپخت آستینیت پایینی و سختکاری - بازگشت اعمال شد. هدف از انجام عملیات یکنواخت کردن، همگن‌سازی ساختار با توجه به اطلاعاتی است که در قسمت قبل ارائه شد. لذا عملیات یکنواخت کردن در دمای آستینیت  $۱۰۵^{\circ}\text{C}$  به عنوان چرخه‌ی اولیه انجام شد. نتایج به دست آمده در این مورد در جدول ۵ آرائه شده است. نکته‌ی قابل توجه در این عملیات، افزایش قابل توجه استحکام است به طوری که در مقایسه با نمونه‌ی تفجوشی شده، افزایش دو برابری استحکام به دست آمد. در این میان، نمونه‌ی مربوط به چرخه‌ی نرماله و پس از آن سختکاری - بازگشت شده دارای بیشترین حد استحکام بودند. سختی نمونه‌ها نیز در حد ۴۷۰ ویکرز اندازه‌گیری شد.

#### نتیجه‌گیری

در این پژوهش اثر چرخه‌های عملیات حرارتی بر روی یک فولاد کم آلیاژی تولیدی به روش تفجوشی لیزری مطالعه شد. نتایج حاصل نشان می‌دهند که ریزساختار فولاد تفجوشی شده بسیار ناهمگن و شامل فازهای مختلفی همچون مارتزیت، مارتزیت گرم شده، بینیت و آستینیت باقیمانده است. به منظور همگن‌سازی کامل ساختار می‌بایست عملیات حرارتی در  $۱۱۰^{\circ}\text{C}$  انجام شود. انجام این عملیات سختی فولاد را به مقدار قابل توجهی کاهش می‌دهد ولی استحکام پارگی عرضی آن را زیاد می‌کند. با این وجود، می‌توان فولاد را در دمای

(الف)  $۱۰۰^{\circ}\text{C}$ :(ب)  $۱۰۵^{\circ}\text{C}$ :(ج)  $۱۱۰^{\circ}\text{C}$ :

شکل ۵. ریزساختارهای نمونه‌های نرماله شده پس از آستینیت در دماهای مختلف با هدف همگن‌سازی ریزساختار قطعه‌ی تفجوشی شده توسط لیزر.

در ریزساختار مشاهده می‌شود، عملیات همگن‌سازی قبل از عملیات حرارتی در دمای بالا انجام می‌شود. برای این منظور عملیات حرارتی یکنواخت کردن در سه دمای آستینیت  $۱۰۰^{\circ}\text{C}$ ،  $۱۰۵^{\circ}\text{C}$  و  $۱۱۰^{\circ}\text{C}$  درجه

در  $1050^{\circ}C$  انجام شود و پس از سرد کردن فولاد در هوا، عملیات سختکاری بازگشت در دمای آستینیت  $900^{\circ}C$  و بازگشت در دمای  $350^{\circ}C$  انجام شود. تحت این شرایط می‌توان ضمن حفظ سختی فولاد، استحکام آن را  $10\%$  افزایش داد.

$900^{\circ}C$  آستینیتی کرد و با انجام چرخه‌های عملیات حرارتی یکنواخت کردن، بازپخت شده آستینیتی (بالایی یا پایینی) و سختکاری بازگشت خواص مکانیکی فولاد را ارتقاء داد. بهترین شرایط برای عملیات حرارتی این فولاد زمانی به دست می‌آید که ابتدا عملیات همگن‌سازی

### پانوشت

1. rapid prototyping
2. stereolithography

### منابع

1. Wohlers, T., Rapid Prototyping and Tooling State of the Industry: Worldwide Progress Report 2000, Wohlers Associates, Inc., Fort Collins, Co. (2000).
2. Pham, P.T. and Dimov, S., "Rapid Manufacturing: The Technologies and Applications of Rapid Prototyping and Rapid Tooling", Springer Verlag, London (2001).
3. Atkinson, D., Rapid Prototyping and Tooling: A Practical Guide, Strategy Publication, Herts (1997).
4. King, D. and Tansey, T., "Alternative materials for rapid tooling", *J. Materials Processing Technology*, **121**, pp. 313-317 (2002).
5. Bourell, D.L., Marcus, H.L., Barlow, J.W. and Beaman, J.J., "Selective laser sintering of metals and ceramics", *Int. J. Powder Metallurgy*, **28**(4), pp. 369-381 (1992).
6. Haenninen, "DMLS moves from rapid tooling to rapid manufacturing", *Metal Powder Report*, pp. 25-29 (September 2001).
7. Dalgarno, K.W. and Wright, C.S., "Approaches to processing metals and ceramics through laser scanning of powder beds- a review", *Powder Metal Progress*, **1**(1), pp. 70-79 (2001).
8. Petzoldt, T., Greul, M. and Loffler, H., "Direct metal laser sintering: different applications different material concepts", *Advances in Powder Metallurgy & Particular Materials*, MPIF, Princeton, NJ., **2**(5), pp. 71-76 (1999).
9. Simchi, A., Petzoldt, F. and Pohl, H., "On the development of direct metal laser sintering for rapid tooling", *J. Materials Processing Technology*, **141**, pp. 319-328 (2003).
۱۰. سیمچی، عبدالرضا، «ارتباط بین ریزساختار و سرعت چگالش با شرایط تولید در تفجوشی لیزری پودرهای آهنی»، نشریه علمی پژوهشی امیرکبیر، سال چهاردهم، شماره بیست و پنجم (تابستان ۱۳۸۲).
۱۱. سیمچی، عبدالرضا، «ساخت قالب‌های تزریق پلاستیک به روش تفجوشی لیزری پودرهای فولادی»، فصلنامه علمی پژوهشی شریف، سال نوزدهم (تابستان ۱۳۸۲).